

# Universidad Autónoma de Baja California

## Facultad de Ciencias Marinas

Relaciones de las pesquerías de camarón  
con las variaciones a largo termino en el  
Golfo de California y Áreas Adyacentes

Eduardo Santamaría-del-Angel



PhytOPlankton EcologY tEam

*POPEYE*

México

# **Ecología del Fitoplancton**

**Modelación de la Productividad  
Orgánica primaria**

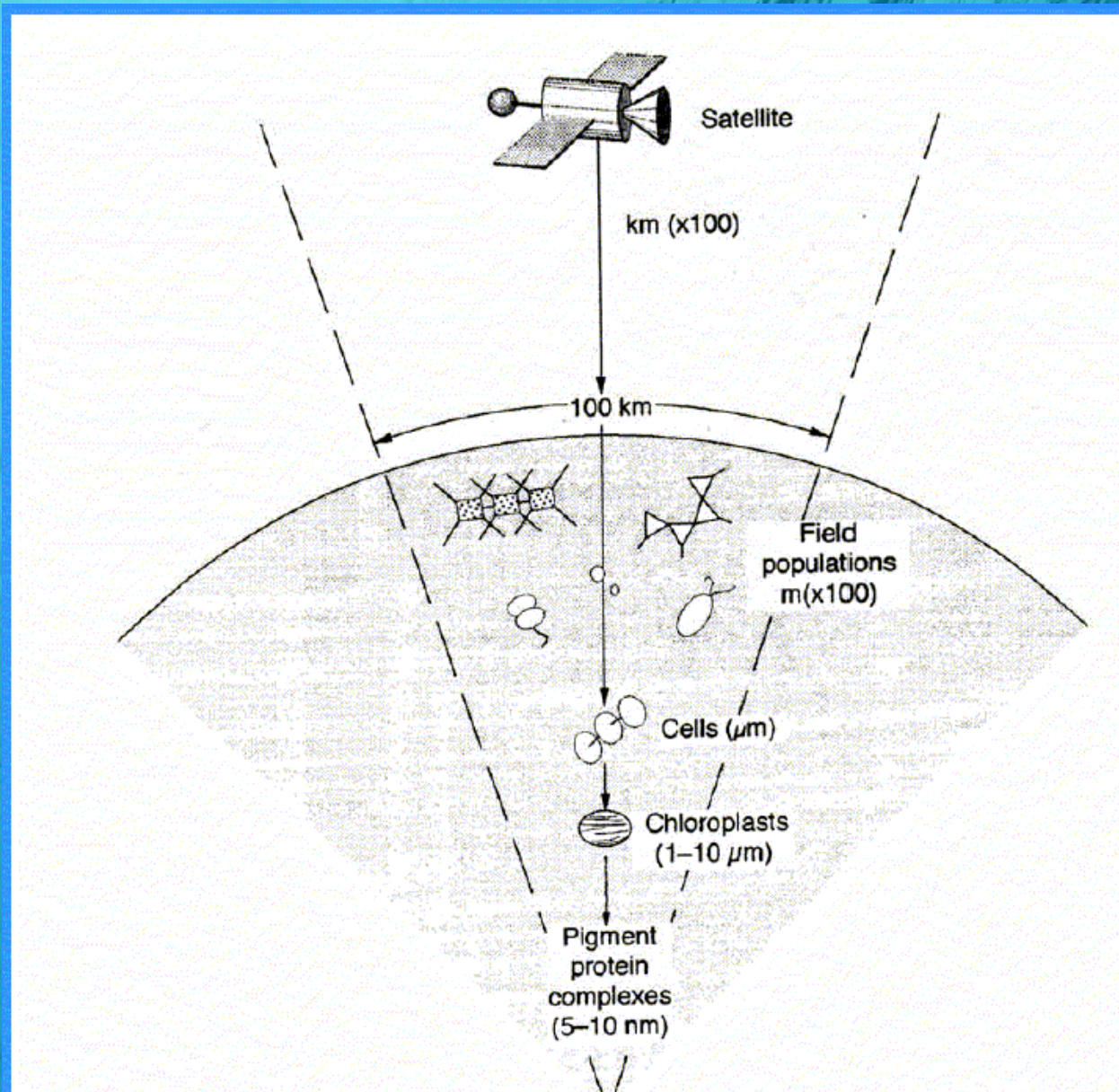
**Flujos de Carbono**

**Óptica Hidrológica**

**Cambio Climatico**

**Oceanografía por sensores Remotos**

# ESCALAS MOLECULAR - GLOBAL



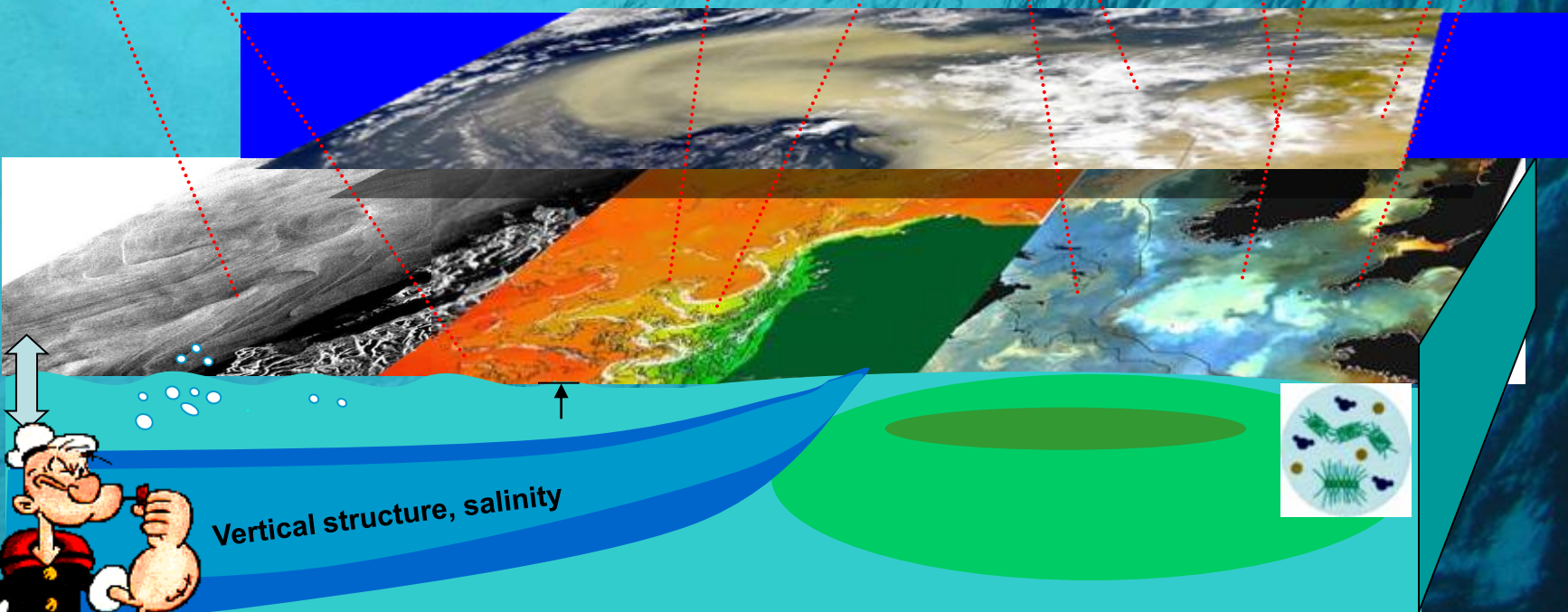
TOPEX-Poseidon,  
QuickScat-SeaWinds

NOAA-AVHRR

Terra & Aqua  
MODIS AIRS

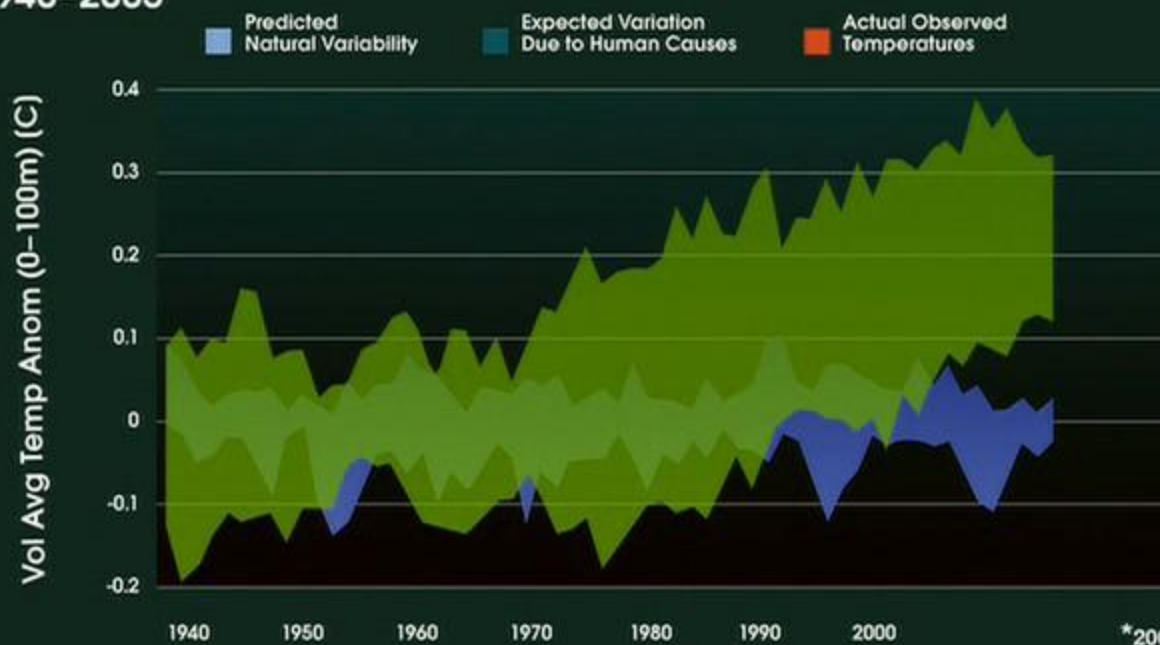
CZCS  
OCTS

SeaWiFS

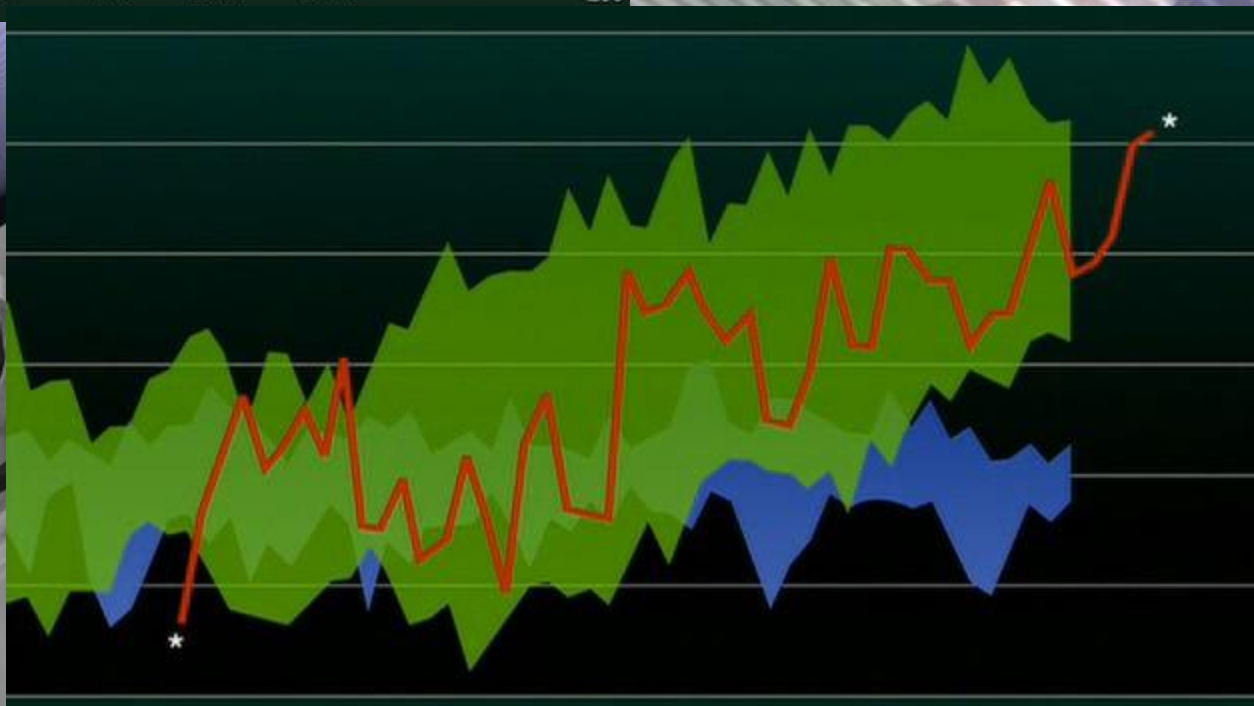


Vertical structure, salinity

1940–2003



\*2004



ashu

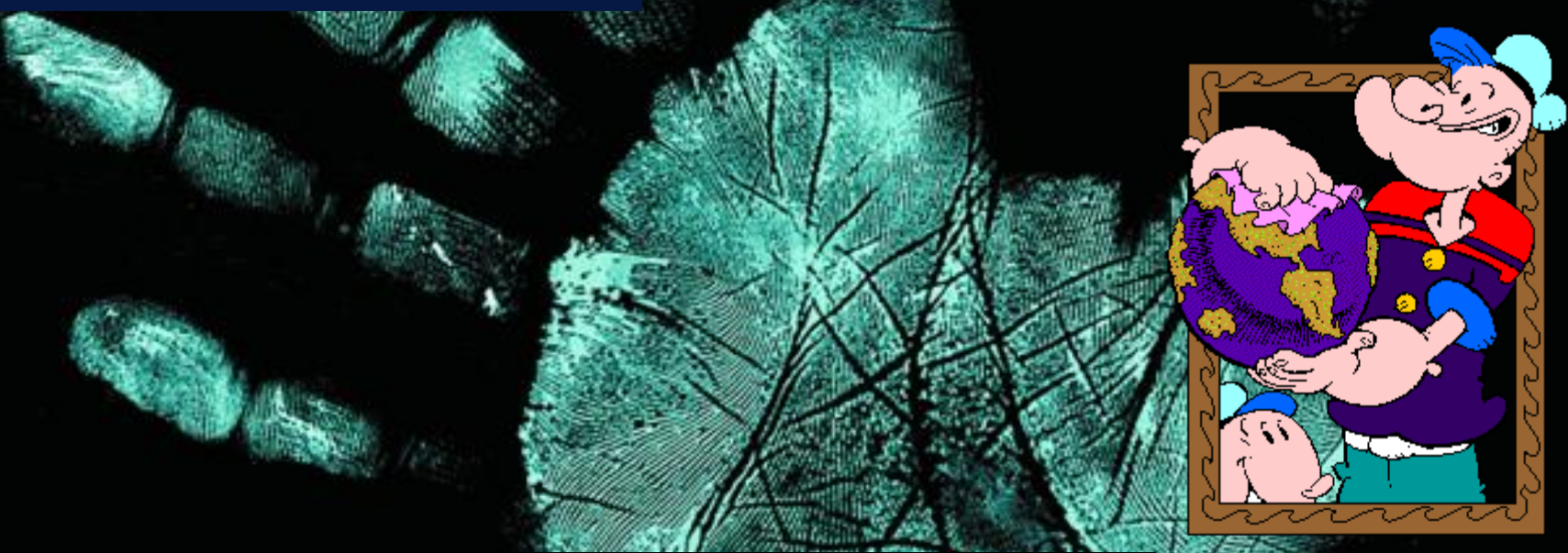
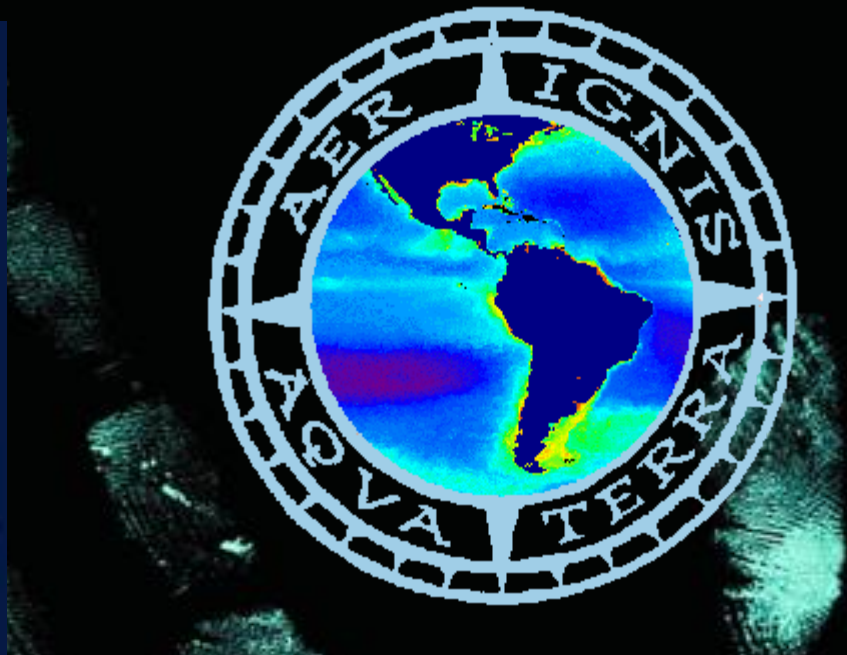


# ¿Existe o no el cambio climático global?

Serie de tiempo irrefutable sobre el cambio climático global

Proof of global warming!!!





## IOCCG Sponsors



**CSA**

Canadian Space Agency



**CNES**

Centre National d'Etudes Spatiales  
(France)



**Canada**

**DFO**

Department of Fisheries and Oceans



**esa**

European Space Agency



**GKSS**

GKSS - Research Centre (Germany)



**ISRO**

Indian Space Research Organisation



**JAXA**

Japan Aerospace Exploration Agency



**JRC**

Joint Research Centre (E.C.)



**KORDI**

Korea Ocean Research and Development Institute



**NASA**

National Aeronautics and Space Administration (USA)



**NOAA**

National Oceanic and Atmospheric Administration (USA)

The IOCCG is an Affiliated Programme  
of SCOR/Scientific Committee on

**The International Ocean-Colour Coordinating Group (IOCCG)** is an international Committee of experts comprising representatives from various space agencies as well as the user community. It was established in 1996. The main objectives of the IOCCG are to develop consensus and synthesis at the world scale in the subject area of satellite ocean colour.

### IOCCG Chairman

**Prof. James Yoder**

Woods Hole Oceanographic Institution

360 Woods Hole Road, Woods Hole

MA 02543, USA

Tel: 508-289-2200 Fax: 508-457-2188

Email: [jyoder@whoi.edu](mailto:jyoder@whoi.edu)

### Project Coordinator

**Dr. Venetia Stuart**

IOCCG Project Office

Bedford Institute of Oceanography

P.O. Box 1006, Dartmouth

Nova Scotia, B2Y 4A2, Canada

Tel: 902-426-3817 Fax: 902-426-9388

Email: [vstuart@dal.ca](mailto:vstuart@dal.ca)

## Societal Issues

### Climate Change

The number one problem is truly global in scope. It is  $\text{CO}_2$ , leading to ocean warming.



### Overpopulation

There is also a growing population in the world, and the rate of population growth is highest along the coastal fringes of the continents. This has a major impact along the coastal areas (e.g., river run-off). Coastal pollution enters the sea, but there is a significant impact on fisheries and other living resources.

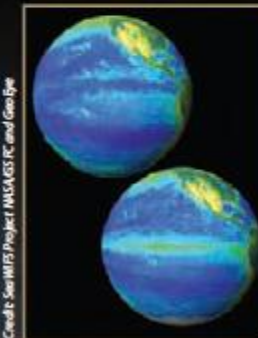
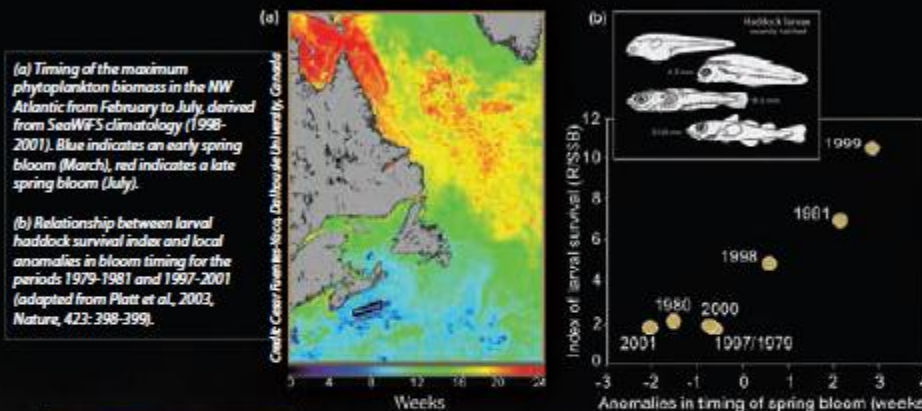


Credit: Grant Pitcher, MCM, South Africa



## More Societal Benefits of Ocean Colour

**Interannual variability in marine ecosystems** can be monitored using ocean-colour data, helping to explain, for example, the effect of environmental fluctuations on the survival of larval fish.



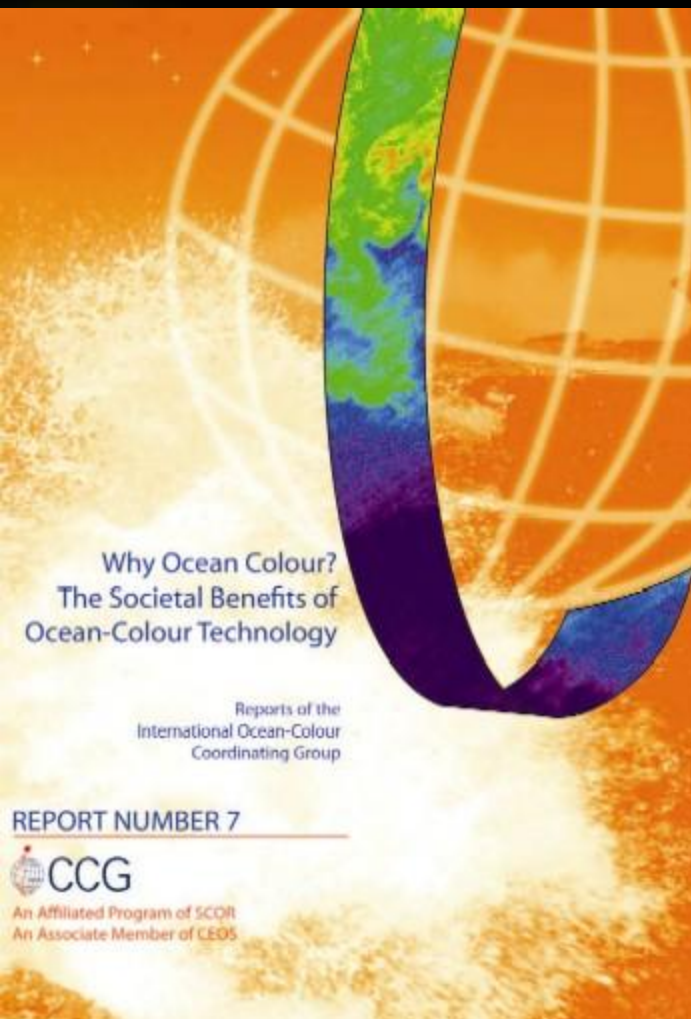
Credit: SeaWiFS Project IMAGES PC and GeoEye

**Major perturbations** at the regional level, for example El Niño, can be visualised using ocean colour, and the effect on the marine ecosystem quantified.

SeaWiFS images of the Pacific Ocean during the peak of the 1997–1998 El Niño (top), during which phytoplankton activity in the Equatorial Upwelling Zone was significantly reduced, and (bottom) during the subsequent La Niña when phytoplankton activity in the Equatorial Upwelling Zone was elevated.

### Climate Change

Phytoplankton take up  $\text{CO}_2$  during photosynthesis making them potentially important carbon sinks. The annual uptake of  $\text{CO}_2$  on a global scale (~50 gigatonnes) can be quantified using ocean-colour data, which also provides information for mitigation and adaptation for the tourism industry and also for the developing economy of aquaculture. Coastal zone



## Reports and Monographs of the International Ocean-Colour Coordinating Group

An Affiliated Program of the Scientific Committee on Oceanic Research (SCOR)  
An Associate Member of the Committee on Earth Observation Satellites (CEOS)

IOCCG Report Number 8, 2009

### Remote Sensing in Fisheries and Aquaculture

Edited by:

Marie-Hélène Forget, Venetia Stuart and Trevor Platt

A contribution of the SAFARI initiative (Societal Applications in Fisheries & Aquaculture using Remotely-Sensed Imagery), funded by the Canadian Space Agency (CSA) and directed by Trevor Platt. This report is based on contributions from (in alphabetical order):

Cedric Bacher, Gary Borstad, Alida Bundy, Emmanuel Chassot, Changsheng Chen, Christopher Clark, Nicholas Dulvy, Rashmin Dwivedi, Paul Fanning, Joao Ferreira, John Field, Alain Fonteneau, Marie-Hélène Forget, Kevin Friedland, César Fuentes-Yaco, Jon Grant, Steve Groom, Guoqi Han, Nick Hardman-Mountford, Johanna Heymans, Nicolas Hoepffner, Evan Howell, Chuanmin Hu, Kimberly Hyde, Hiderada Kiyofuji, Donald Kobayashi, Peter Koeller, David Kulka, Beena Kumari, Masahiro Kuno, Alan Longhurst, Vivian Lutz, Satsuki Matsumura, Bruce Monger, Jesus Morales, Shailesh Nayak, Jay O'Reilly, Daniel Pauly, Daniel Pendleton, Andrew Pershing, Trevor Platt, Jeffrey Polovina, Mini Raman, Nicholas Record, Anne Richards, Cristina Rodriguez-Benito, Sei-Ichi Saitoh, Shubha Sathyendranath, Kenneth Sherman, Himatsinh Solanki, Venetia Stuart, Fumihiro Takahashi, Maureen Taylor, Cara Wilson and Linda Woodard.

Series Editor: Venetia Stuart



## REMOTE SENSING & FISHERIES INTERNATIONAL SYMPOSIUM

15<sup>th</sup> - 17<sup>th</sup> February, 2010  
Kochi, India

### WELCOME

SAFARI aims to accelerate the assimilation of satellite Earth observation data into fisheries research and management on a global scale. This initiative, funded by the Canadian Space Agency, falls under the Group of Earth Observation (GEO) Task AG-06-02, which calls for consultation at the international level to identify opportunities for enhanced utilization of Earth Observation data in fisheries and aquaculture.

The **SAFARI** Initiative (Societal Applications in Fisheries and Aquaculture using Remotely-sensed Imagery) held an International Symposium on Remote Sensing and Fisheries from 15-17 February 2010 at the Abad Plaza in Kochi,

[Home <](#)  
[Invited Speakers](#)  
[Contact Information](#)  
[Travel Support](#)  
[Training Course](#)  
[Conference Proceedings](#)  
[Documents](#)  
[ChloroGIN](#)  
[Sponsors](#)  
[Local Information](#)  
[SAFARI Homepage](#)  
[For Participants](#)

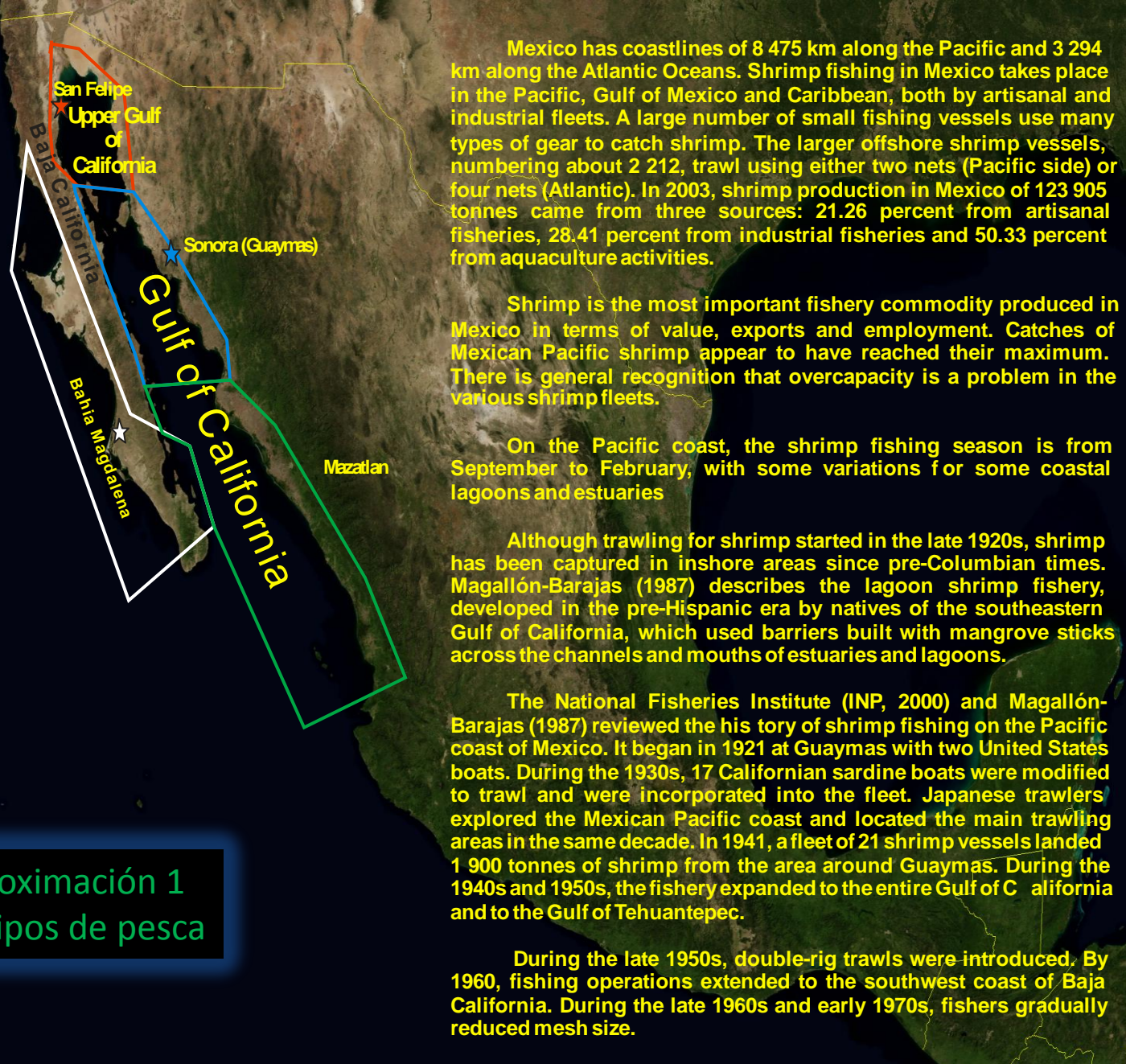
# Relationship between climate change and Shrimp Fisheries in the Gulf of California (México) and adjacent areas

Response of two shrimp (*Farfantepenaeus californiensis* and *Litopenaeus stylirostris*) to long-term variability in the Upper Gulf of California (Mexico) and adjacent areas

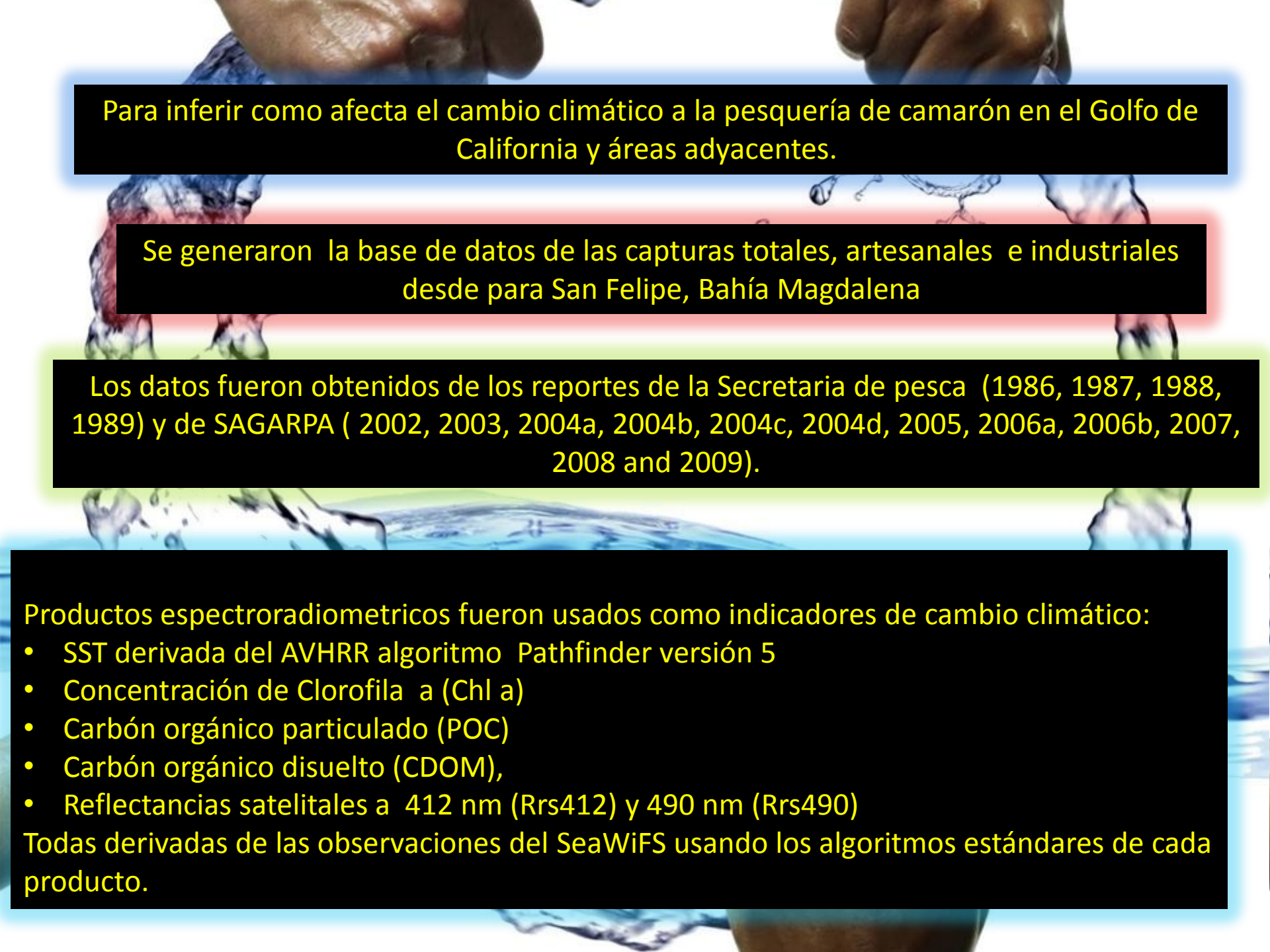
**Response of shrimp fisheries to climate change and long-term climate variability in the upper Gulf of California and along the West Coast of Southern Baja California, México.**

Santamaría-del-Ángel Eduardo<sup>1\*</sup>; Millán-Núñez Roberto<sup>1</sup>; González-Silvera Adriana<sup>1</sup>; Callejas-Jiménez Mariana<sup>1</sup>; Cajal-Medrano Ramón<sup>1</sup>; Galindo-Bect Manuel Salvador<sup>2</sup>.

Aceptado en el Número especial de Journal Marine Science  
Para SAFARI 2010 en abril del 2011



## Aproximación 1 Por tipos de pesca



Para inferir como afecta el cambio climático a la pesquería de camarón en el Golfo de California y áreas adyacentes.

Se generaron la base de datos de las capturas totales, artesanales e industriales desde para San Felipe, Bahía Magdalena

Los datos fueron obtenidos de los reportes de la Secretaría de pesca (1986, 1987, 1988, 1989) y de SAGARPA ( 2002, 2003, 2004a, 2004b, 2004c, 2004d, 2005, 2006a, 2006b, 2007, 2008 and 2009).

Productos espectroradiometricos fueron usados como indicadores de cambio climático:

- SST derivada del AVHRR algoritmo Pathfinder versión 5
- Concentración de Clorofila a (Chl a)
- Carbón orgánico particulado (POC)
- Carbón orgánico disuelto (CDOM),
- Reflectancias satelitales a 412 nm (Rrs412) y 490 nm (Rrs490)

Todas derivadas de las observaciones del SeaWiFS usando los algoritmos estándares de cada producto.

Industrial shrimp vessels are characteristically owned by the private sector.

The boats are characteristically steel, 18–25 m in length and equipped with 240–624 HP engines.

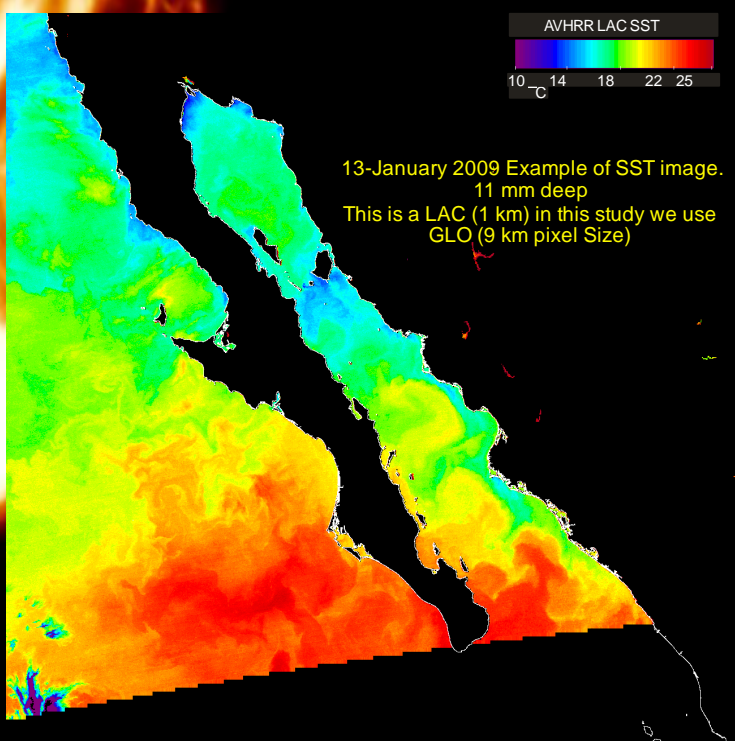
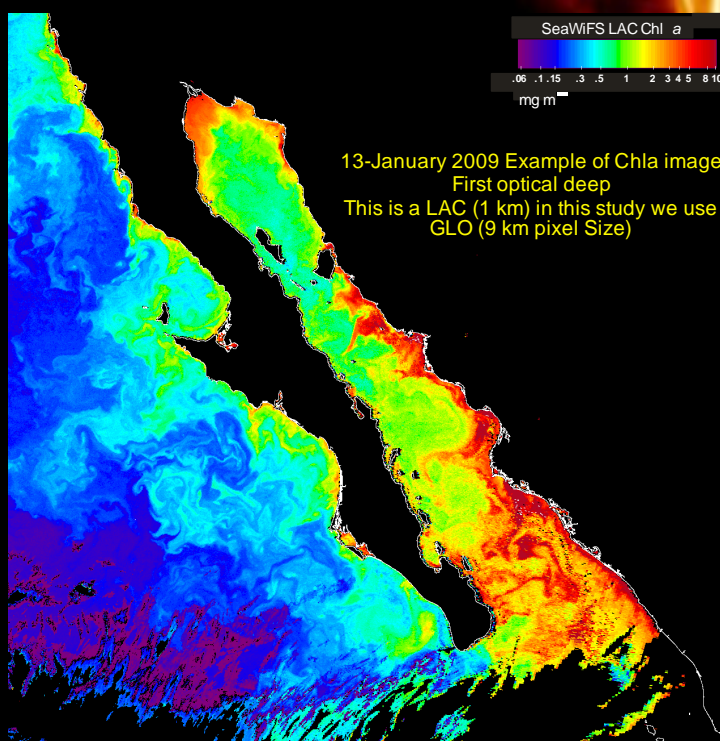
On the Pacific coast, offshore shrimp trawlers operate in waters between 9 and 64 m deep, using two trawl nets.



The artisanal caches are made by unions, cooperatives or individual fishers with small inshore fleet.

This consists of boats that catch shrimp in waters 5–15 m deep in lagoons, estuarine systems, rivers and the coastal zone.

The vessels, numbering between 75 000 and 80 000 during the fishing season, are 6–9 m in length and use 55–100 HP outboard engines.



Por región se calcularon promedios geométricos de las capturas y los indicadores climáticos

Para determinar la relación entre todas las variables se aplico un análisis de componente principal (PCA)de las variables estandarizadas para cada localidad. Estas relaciones fueron expresadas gráficamente con un análisis de factor, sin rotación basado en el PCA.

Para complementar se realizo análisis de Cluster usando la correlación de Pearson como medida de asociación y un método de ligamiento promedio.

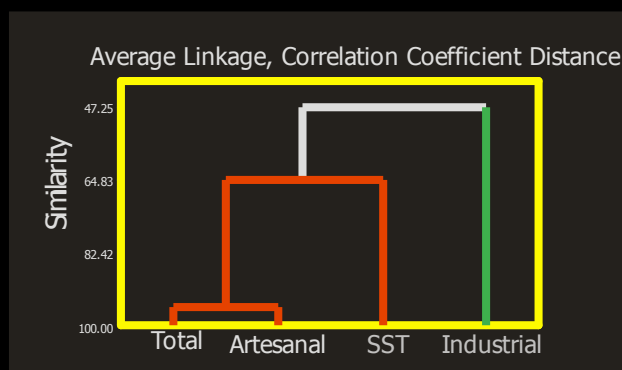
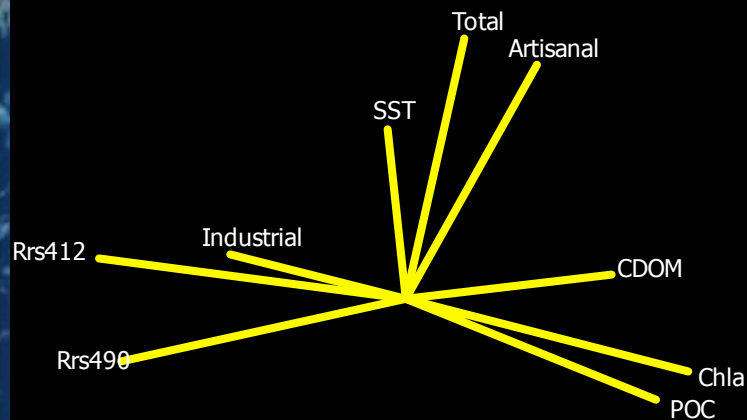
Análisis de tendencia basada en la pendiente ( $b_1$ ) de una simple regresión lineal usando capturas y SST como variables dependientes y los años como variables independientes de para 1994 a 2007 para San Felipe y desde 1994 a 2008 para Bahía Magdalena.

## San Felipe

Eigenvalue	4.41	2.54	1.38
Proportion	0.44	0.25	0.13
Cumulative	0.44	0.69	0.83

	Comp.1	Comp.2	Comp.3
Total	0.28	0.77	0.11
Industrial	-0.49	0.41	-0.71
Artisanal	0.47	0.57	0.41
SST	0.04	0.59	0.21
CDOM	0.71	0.10	-0.65
Chla	0.84	-0.45	0.01
POC	0.69	-0.60	0.29
Rrs412	-0.95	0.31	0.06
Rrs490	-0.95	-0.09	0.10

A direct relationship was found between SST Total and Artisanal catches, (Comp. 2).  
The Industrial catches not show any relation with any variable (Comp.3)



# Bahía Magdalena

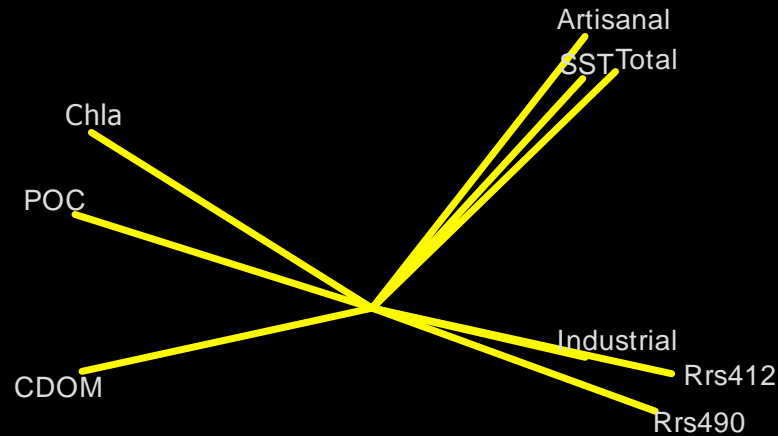
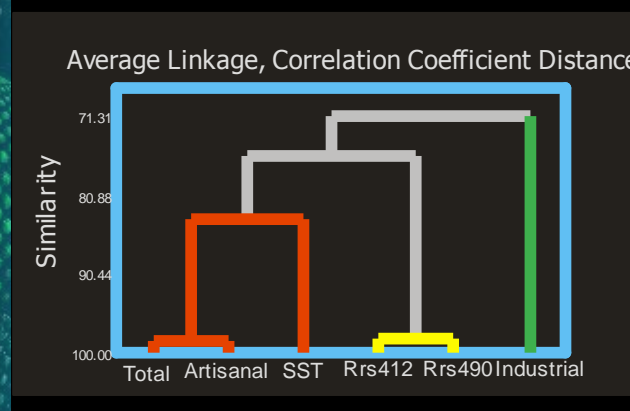
Eigenvalue 6.84 1.57

Proportion 0.68 0.15

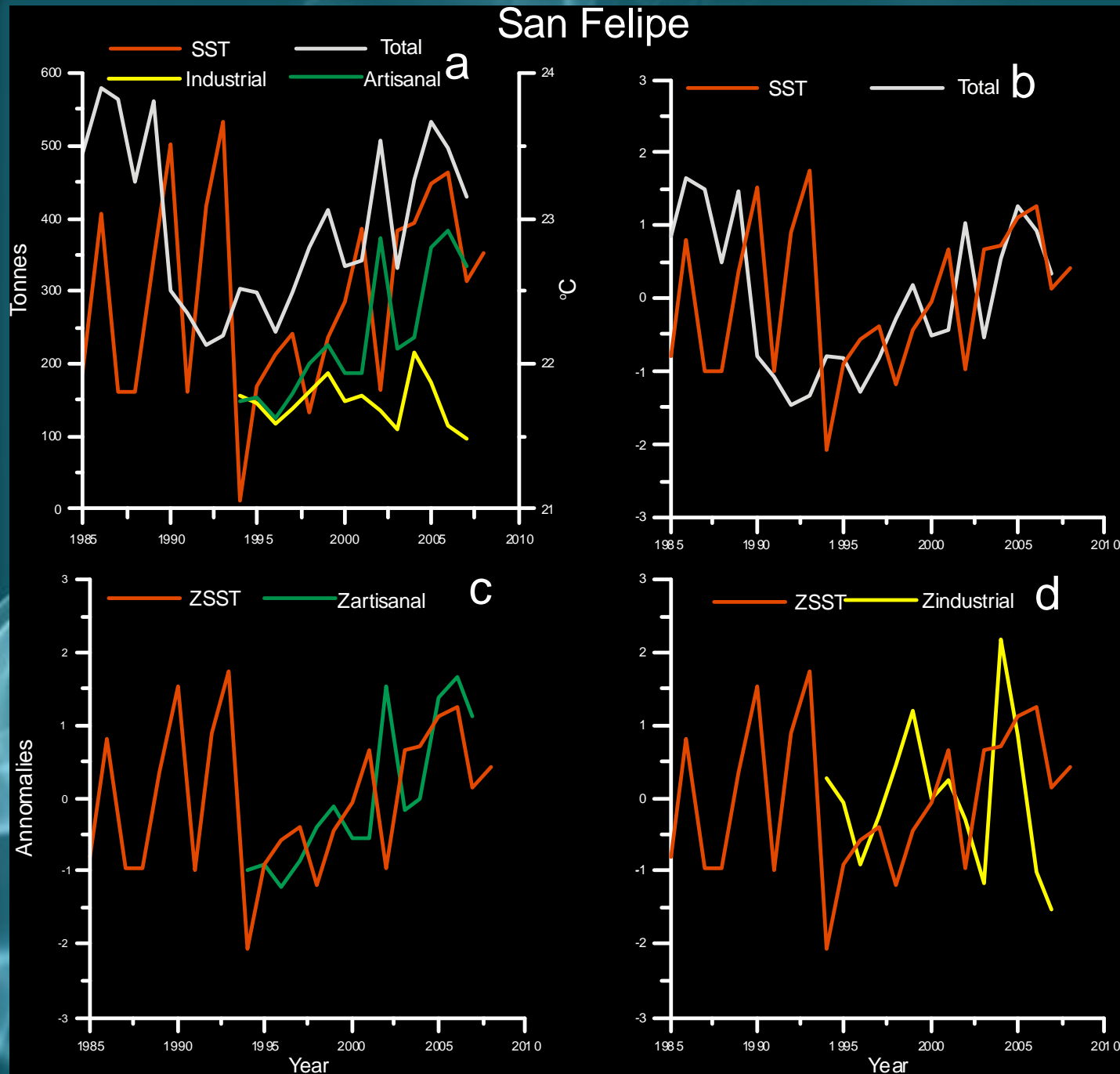
Cumulative 0.68 0.84

	Comp.1	Comp.2
Total	-0.78	-0.60
Industrial	-0.67	0.09
Artisanal	-0.68	-0.69
SST	-0.67	-0.57
CDOM	0.92	0.18
Chla	0.89	-0.38
POC	0.94	-0.19
Rrs412	-0.95	0.11
Rrs490	-0.90	0.20

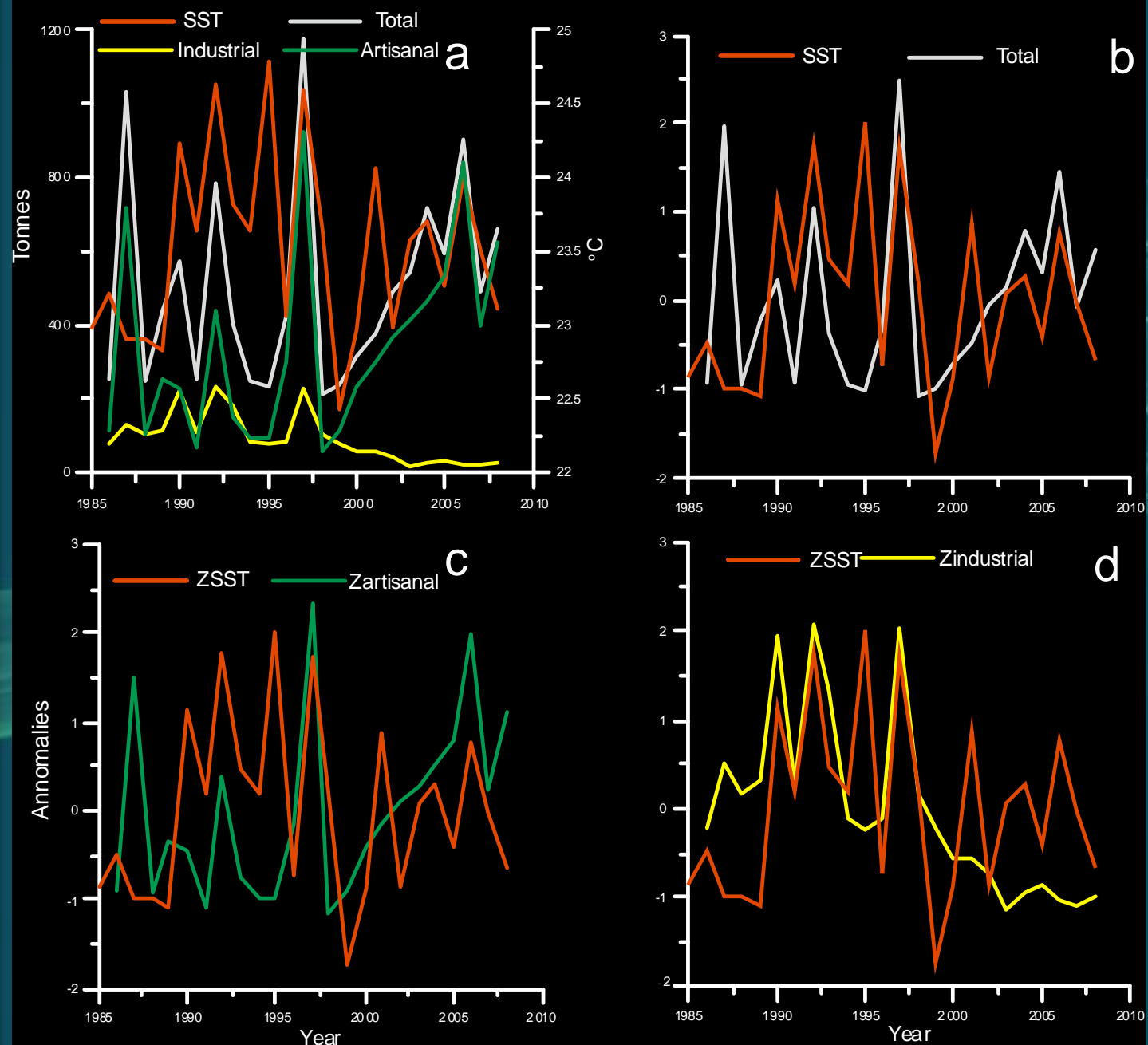
All Catches have a direct relationships with the SST and Rrs, and inversely with the CDOM, Chla and poc. (Comp. 1).



# San Felipe



# Bahia Magdalena



Trend Analysis (TA) based on the slope ( $b_1$ ) of a simple linear regression model, using the catch and SST as dependent variables and years as an independent variable for 1994 to 2007 SF and 1994 to 2008 for SBCWC. The red values show no significant slopes, being smaller than the  $t_{crit}$ .

	San Felipe Baja California		Bahia Magdalena	
g.l.		12		13
$t_{crit}$		2.17881		2.16037
Year		1994-2007		1994-2008
Alfa 5%	b1	$t_{cal}$	b1	$t_{cal}$
Total	17	4.32	24.1	1.55
Industrial	-.094	-.043	-7.84	-3.13
Artisanal	17.9	5.27	30.8	2.21
SST	0.12	4.65	-0.03	-0.90

En general la relación entre las capturas de camarón y las variables ambientales (Chl a, POC, CDOM, Rrs412, Rrs490) no fueron significativas



La explicación de esto es posiblemente a que el periodo de estudio (13 años) no fuera lo suficientemente largo para calcular anomalías más representativas

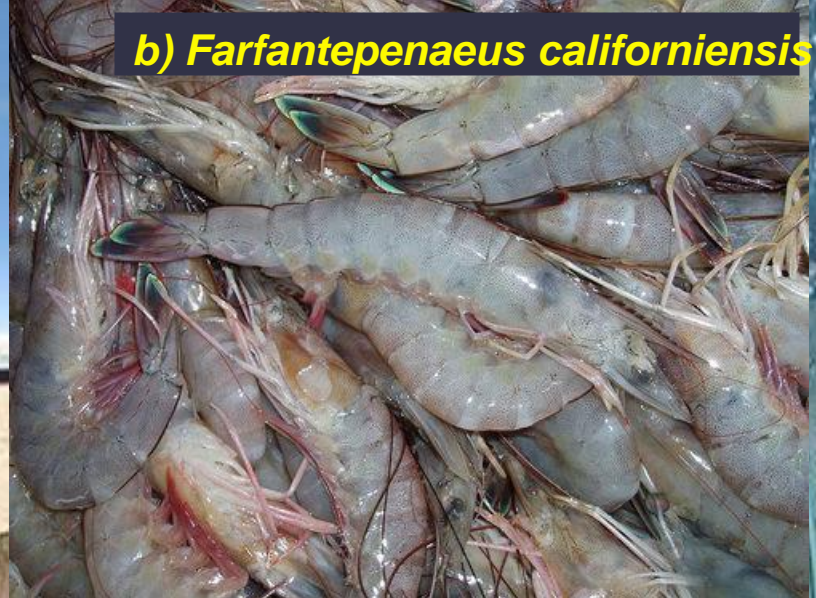


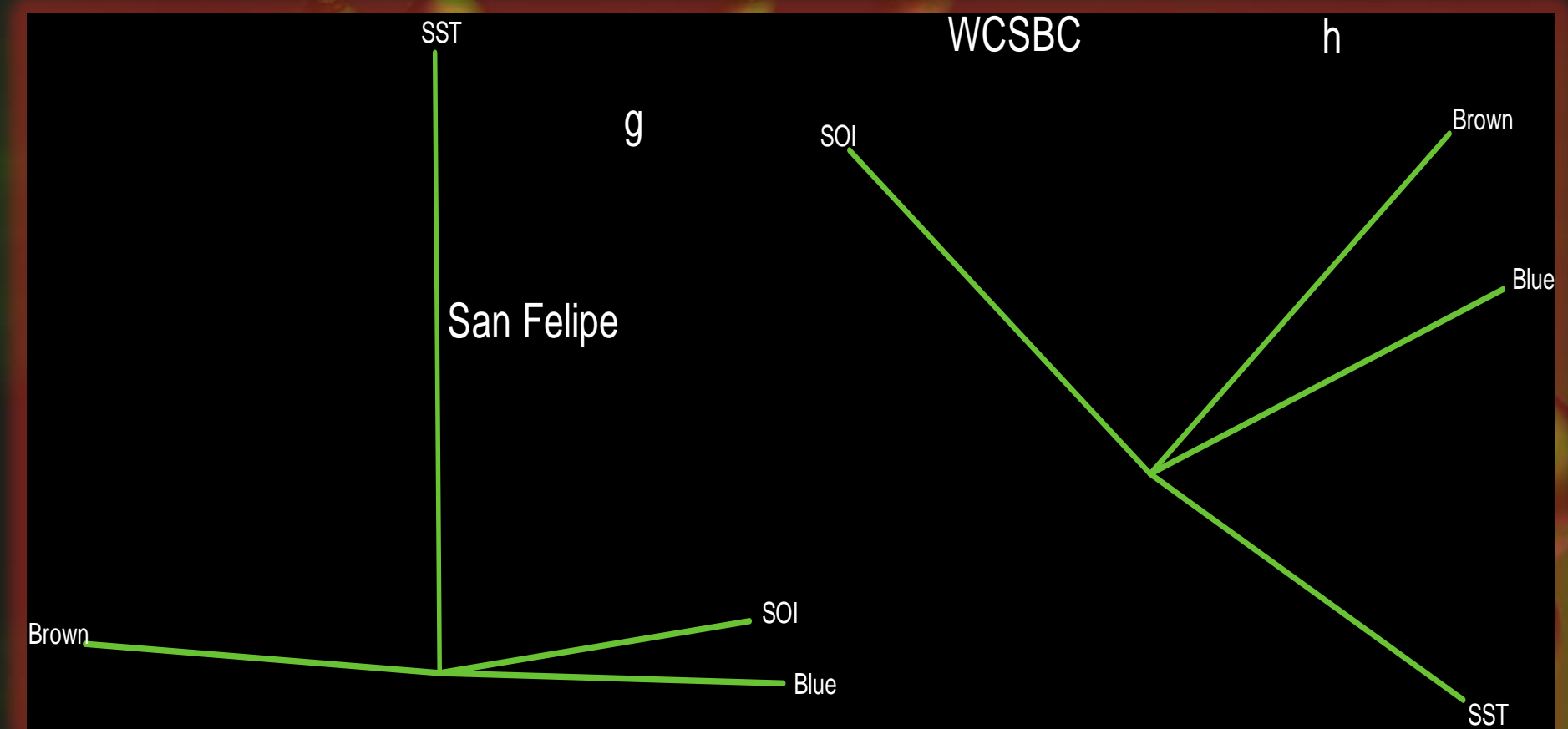
Two shrimp species are catches in this area:

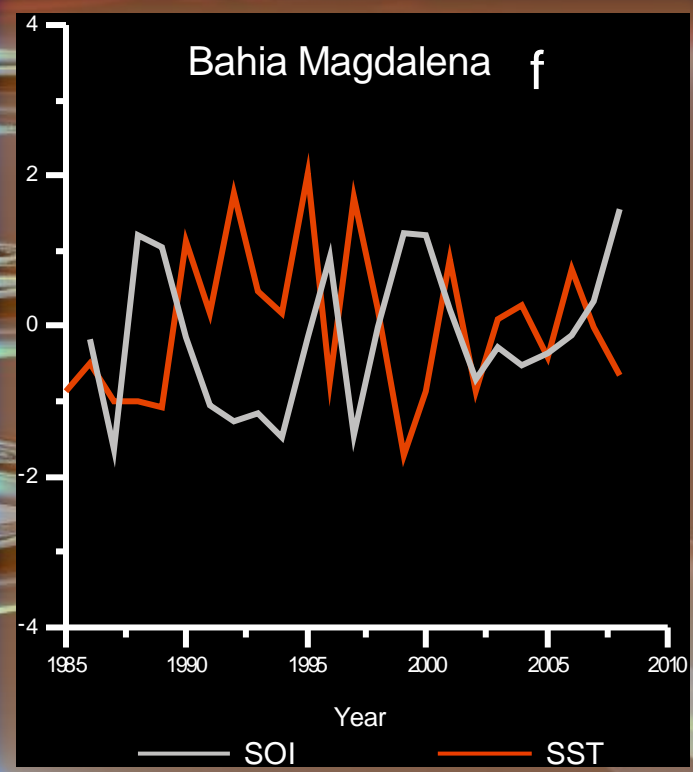
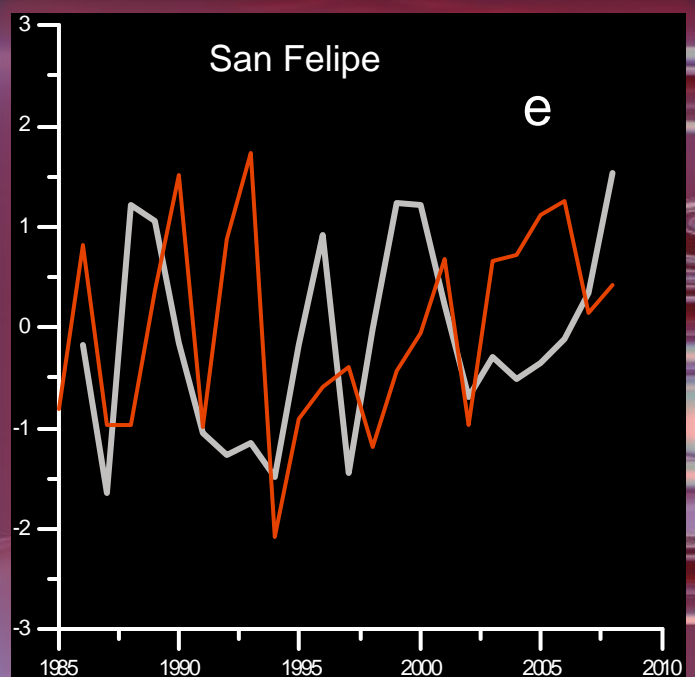
- a) blue shrimp
- b) brown shrimp

*Litopenaeus stylirostris*

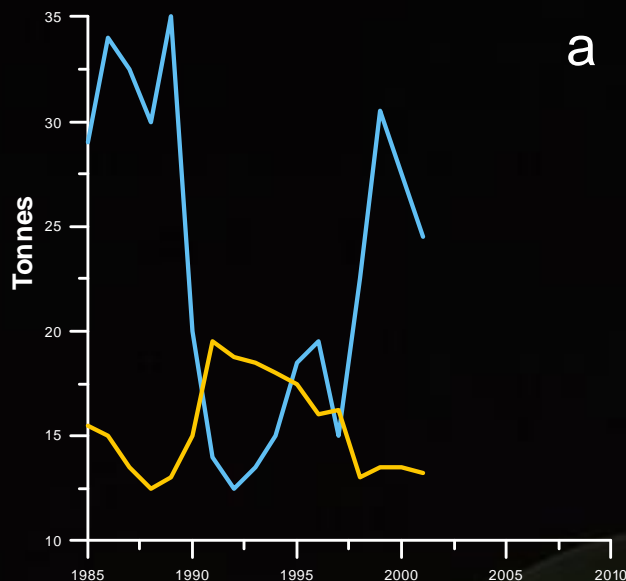
*Farfantepenaeus californiensis*



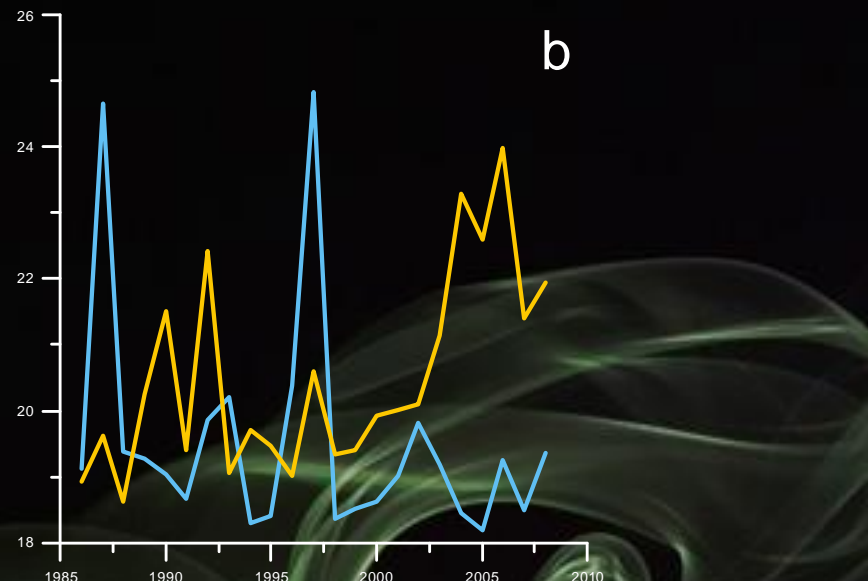




San Felipe



Bahia Magdalena

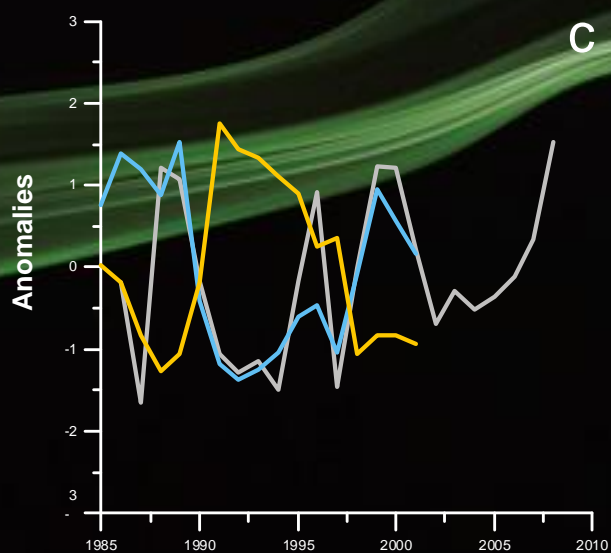


a

b

c

d



Year

— SOI

— Brown

— Blue Shrimp

# Resultados relevantes

- La SST fue el indicador ambiental que mejor se asoció a las capturas.
- La captura total en ambas áreas esta principalmente sustentada por la captura artesanal
- La captura del azul en SF presenta una variación similar a la del SOI, mientras que el café muestra una relación inversa.
- En ambas áreas, el incremento en las capturas de camarón café puede ser una señal de la llegada de El-Niño.
- Entretanto, sería necesaria una serie de tiempo más larga para poder calcular de manera más representativa las anomalías locales y confirmar estos patrones.



## Consideraciones importantes

Aun y cuando ambas especies se pescan en las dos áreas los reportes del estado del stock pesquero menciona que el azul está deteriorado en ambas áreas, mientras que el café está considerado como deteriorado en SBCWC y en SF se reporta como al límite de la pesca sustentable (SAGARPA, 2002, 2003, 2004b).

Sin embargo, Galindo-Bect (2003) menciona que este deterioro se puede deber a factores antropogenicos como la infección de las poblaciones de camarones silvestres por virus liberados por las granjas de camarón. En 1990 se registró por primera vez la presencia del virus IHHNV (Infectious Hypodermal and Hematopoietic Necrosis Virus) en poblaciones silvestres del Alto Golfo de California (Lighter *et al.*, 1992), sin embargo, el impacto producido por este virus en la cadena alimenticia del océano es desconocido.

Las capturas por especie muestran a lo largo del tiempo, una alternancia de especies, cuando hay máximas capturas en el camarón azul, las del camarón café están bajas, y viceversa.

Debido a que la alternancia entre especies se da aproximadamente en periodos de 5 años, se asoció el SOI anual con las capturas por especie. La captura estandarizada del azul presenta una variación similar a la del SOI anual, mientras que el café muestra una relación inversa.

Estas relaciones sugieren que en condiciones No-El-Niño el Alto Golfo de California presenta las condiciones adecuadas para el camarón azul. Con el cambio de las condiciones ambientales debido a El-Niño, la abundancia del camarón azul disminuye y la del café aumenta.

Esta alternancia de especies podría ser explicada por medio de las relaciones que existen entre las abundancias de cada especie y las variaciones ambientales a mediano y largo plazo.

Los efectos de El-Niño en el Alto Golfo de California pueden asociarse a aumento en las descargas del Rio Colorado o precipitación pluvial, lo cual aumenta las áreas inundadas incrementando las zonas de crianza.

Aun y cuando el Delta del Rio Colorado es un cuerpo costero con altas concentraciones de nutrientes (Hernández-Ayón *et al.*, 1993), altamente turbio (Santamaría-del-Ángel *et al.*, 1996) pero con alta POP (Millán-Núñez *et al.*, 1999), el incremento de los flujos del Rio Colorado puede incrementar los nutrientes. Galindo-Bect *et al.*, (2000) reportan para esta zona una estrecha relación entre las capturas de camarón y el aporte de agua dulce del Rio Colorado.

En general las relaciones de las capturas de camarón con los productos espektoradiométricos estándar (Chl *a*, POC, CDOM, Rrs412, Rrs490) no fueron significativas.

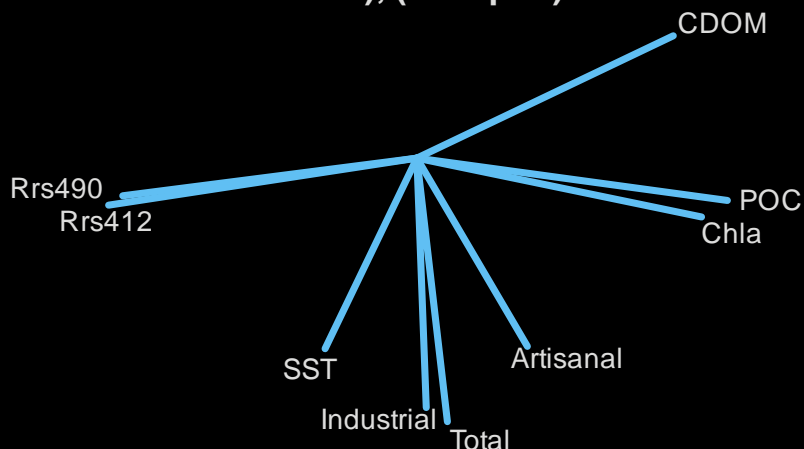
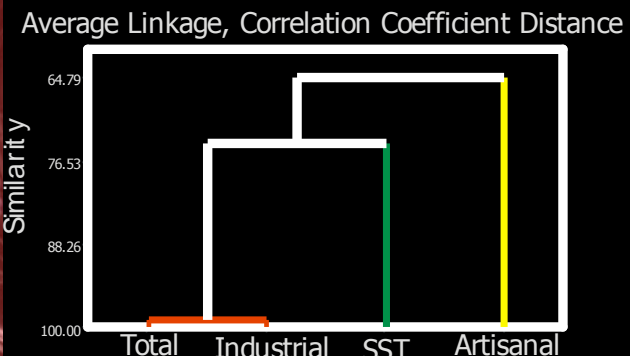
Una explicación de lo anterior puede ser que el largo de la serie (trece años) no fue suficiente para poder derivar las anomalías de una manera más representativa.

De la misma el no haber encontrado relación puede deberse a la naturaleza misma del parámetro pues por ejemplo el CDOM básicamente es un tipo de materia orgánica muy vieja y refractaria, probablemente producida por lisis y excreción de organismos, que disminuye la penetración de la luz y que al igual que el POC solo de manera indirecta afecta a la producción primaria, por lo que su efecto en la pesquería del camarón no es fácil de identificar.

# Mazatlan

	Eigenvalue	4.48	2.74	1.66	
	Proportion	0.44	0.27	0.16	
	Cumulative	0.44	0.72	0.88	
	Comp.1		Comp.2		Comp.3
Total	0.08		-0.87		0.35
Industrial	0.02		-0.82		0.46
Artisanal	0.32		-0.62		-0.33
SST	-0.27		-0.67		-0.01
CDOM	0.81		0.45		0.41
Chla	0.89		-0.19		-0.34
POC	0.97		-0.13		-0.13
Rrs412	-0.96		-0.18		-0.21
Rrs490	-0.92		-0.16		-0.37

Only a direct relationship was found between SST and all catches (Total, Industrial and Artisana), (Comp. 2).



# Sonora

Eigenvalue	4.54	2.36	1.48	1.05
Proportion	0.45	0.23	0.15	0.10
Cumulative	0.45	0.69	0.84	0.94

	Comp.1	Comp.2	Comp.3	Comp.4
Total	0.38	0.75	-0.02	-0.07
Industrial	0.40	0.62	0.10	-0.27
Artisanal	0.17	0.78	-0.31	0.40
SST	-0.24	0.40	0.78	0.28
CDOM	0.64	-0.25	-0.63	0.32
Chla	0.87	-0.36	0.43	0.16
POC	0.91	-0.38	0.29	-0.01
Rrs412	-0.96	0.35	0.14	-0.10
Rrs490	-0.88	0.48	-0.22	0.20

The catches not show any relation with SST or another variable

